

УДК 539.3

ЗАДАЧА ЛАМЕ ДЛЯ СЛАБОАНИЗОТРОПНОГО ТЕЛА С КУБИЧЕСКОЙ СИММЕТРИЕЙ УПРУГИХ СВОЙСТВ

В. Д. Соловей

Институт машиноведения УрО РАН, 620219 Екатеринбург

E-mail: SoloveiVD@yandex.ru

Решена задача Ламе для тела, обладающего кубической симметрией упругих свойств, определен параметр упругой анизотропии. В случае плоской деформации с точностью до членов первого порядка по малому параметру анизотропии найдены напряжения в кольце. Рассчитаны напряжения в кольце из КС1, находящемся под действием внутреннего давления.

Ключевые слова: слабоанизотропное тело, кубическая симметрия упругих свойств, задача Ламе.

Фиктивное упругое изотропное тело. Параметр упругой анизотропии. Тензор модулей упругости c_{ijkl} ($i, j, k, l = x, y, z$) для тела с кубической симметрией упругих свойств имеет три независимые компоненты [1]: c_{1111} , c_{1122} и c_{1212} . При матричном описании упругих свойств три независимых элемента матрицы c_{11} , c_{12} , c_{44} определяются соотношениями

$$c_{11} = c_{1111}, \quad c_{12} = c_{1122}, \quad c_{44} = c_{1212}. \quad (1)$$

В главных осях анизотропии x, y, z уравнения состояния для рассматриваемого тела в случае его плоской деформации в плоскости (x, y) имеют вид

$$\sigma_{xx} = c_{11}e_{xx} + c_{12}e_{yy}, \quad \sigma_{yy} = c_{12}e_{xx} + c_{11}e_{yy}, \quad \sigma_{xy} = 2c_{44}e_{xy}, \quad (2)$$

при этом

$$\sigma_{zz} = c_{12}(\sigma_{xx} + \sigma_{yy}) / (c_{11} + c_{12})$$

(σ_{xx} , σ_{yy} , σ_{zz} , σ_{xy} и e_{xx} , e_{yy} , e_{xy} — компоненты тензоров напряжения и деформации соответственно).

Рассмотрим фиктивное изотропное упругое тело, тензор модулей упругости которого

$$c_{ijkl}^0 = \lambda \delta_{ij} \delta_{kl} + \mu (\delta_{ik} \delta_{jl} + \delta_{il} \delta_{jk})$$

в наименьшей степени отличается от заданного тензора c_{ijkl} . Здесь λ, μ — коэффициенты Ламе; δ_{ij} — символ Кронекера.

Элементы матрицы модулей упругости фиктивного изотропного тела выражаются через коэффициенты Ламе следующим образом:

$$c_{11}^0 = \lambda + 2\mu, \quad c_{12}^0 = \lambda, \quad c_{44}^0 = \mu. \quad (3)$$

Коэффициенты Ламе для фиктивного изотропного тела найдем из условия минимума функции F по λ и μ :

$$F = (c_{ijkl} - c_{ijkl}^0)(c_{ijkl} - c_{ijkl}^0) = \min. \quad (4)$$

В выражении (4) по повторяющимся индексам проводится суммирование. Учитывая свойства симметрии тензоров c_{ijkl} и c_{ijkl}^0 , а также (1), находим

$$F = 3c_{11}^2 + 6c_{12}^2 + 12c_{44}^2 - 6(\lambda + 2\mu)c_{11} - 12\lambda c_{12} - 24\mu c_{44} + 3(3\lambda^2 + 4\lambda\mu + 8\mu^2).$$

Условие минимума F по λ и μ дает искомые соотношения

$$\lambda = (c_{11} + 4c_{12} - 2c_{44})/5, \quad \mu = (c_{11} - c_{12} + 3c_{44})/5, \quad (5)$$

при этом функция F в точке минимума равна

$$F_{\min} = 6(c_{11} - c_{12} - 2c_{44})^2/5.$$

Пусть в 81-мерном пространстве компонент тензоров четвертого ранга тензору c_{ijkl} соответствует вектор анизотропного упругого состояния, а тензору c_{ijkl}^0 — вектор изотропного упругого состояния. Тогда длина вектора, являющегося разностью этих двух векторов, равна

$$\rho = \sqrt{6} |c_{11} - c_{12} - 2c_{44}| / \sqrt{5}, \quad (6)$$

а длина вектора анизотропного упругого состояния равна

$$R \equiv \sqrt{c_{ijkl}c_{ijkl}} = \sqrt{3(c_{11}^2 + 2c_{12}^2 + 4c_{44}^2)}.$$

Параметр упругой анизотропии ε определяется по формуле

$$\varepsilon = \rho/R = \sqrt{2} |c_{11} - c_{12} - 2c_{44}| / \sqrt{5(c_{11}^2 + 2c_{12}^2 + 4c_{44}^2)}. \quad (7)$$

Для упругого изотропного тела $\rho = 0$, поэтому из (6), (7) следует, что $\varepsilon = 0$.

С учетом (3) выражения для модулей упругости рассматриваемого упругого анизотропного тела можно представить в виде

$$c_{11} = \lambda + 2\mu + 2\beta\varepsilon, \quad c_{12} = \lambda - \beta\varepsilon, \quad c_{44} = \mu - \beta\varepsilon, \quad (8)$$

где $\beta = \sqrt{c_{11}^2 + 2c_{12}^2 + 4c_{44}^2} / \sqrt{10}$.

Постановка граничной задачи. Рассматривается упругое анизотропное кольцо, ограниченное концентрическими окружностями с радиусами $r = a$, $r = b$ и деформируемое под действием внутреннего p_a и внешнего p_b давлений (рис. 1).

В цилиндрических координатах r , φ , z уравнения равновесия имеют вид

$$\sigma_{rr,r} + \sigma_{r\varphi,\varphi}/r + (\sigma_{rr} - \sigma_{\varphi\varphi})/r = 0, \quad \sigma_{\varphi\varphi,\varphi}/r + \sigma_{r\varphi,r} + 2\sigma_{r\varphi}/r = 0, \quad (9)$$

геометрические соотношения записываются следующим образом:

$$e_{rr} = u_{r,r}, \quad e_{\varphi\varphi} = u_{\varphi,\varphi}/r + u_r/r, \quad e_{r\varphi} = (u_{r,\varphi}/r + u_{\varphi,r} - u_\varphi/r)/2. \quad (10)$$

Здесь u_r , u_φ — компоненты вектора перемещения; запятая перед индексом обозначает дифференцирование по соответствующей этому индексу координате.

С учетом (8) уравнения состояния (2) принимают вид

$$\sigma_{rr} = h_1 e_{rr} + h_2 e_{\varphi\varphi} - 2h_4 e_{r\varphi}, \quad \sigma_{\varphi\varphi} = h_2 e_{rr} + h_1 e_{\varphi\varphi} + 2h_4 e_{r\varphi}, \quad (11)$$

$$\sigma_{r\varphi} = -h_4 e_{rr} + h_4 e_{\varphi\varphi} + h_3 e_{r\varphi};$$

$$\sigma_{zz} = h_5 (\sigma_{rr} + \sigma_{\varphi\varphi})/h_6, \quad (12)$$

где

$$h_1 = \lambda + 2\mu + (3 + 5 \cos 4\varphi)\beta\varepsilon/4, \quad h_2 = \lambda + (1 - 5 \cos 4\varphi)\beta\varepsilon/4,$$

$$h_3 = 2\mu + (1 - 5 \cos 4\varphi)\beta\varepsilon/2, \quad h_4 = 5 \sin 4\varphi\beta\varepsilon/4, \quad h_5 = \lambda - \beta\varepsilon, \quad h_6 = 2(\lambda + \mu) + \beta\varepsilon.$$

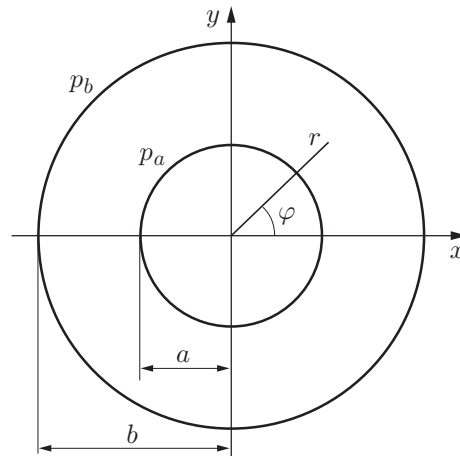


Рис. 1. Упругое анизотропное кольцо под действием внутреннего p_a и внешнего p_b давлений

Граничные условия задачи имеют вид

$$\sigma_{rr}|_{r=a} = -p_a, \quad \sigma_{rr}|_{r=b} = -p_b, \quad \sigma_{r\varphi}|_{r=a} = 0, \quad \sigma_{r\varphi}|_{r=b} = 0.$$

Рассматривается упругое слабоанизотропное тело, для которого $|\varepsilon| < 1$ (этому условию удовлетворяет ряд кристаллов с кубической структурой). Перемещения и напряжения разлагаются в ряды по малому параметру анизотропии ε , при этом учитываются только члены нулевого и первого порядков по этому малому параметру:

$$u_\alpha = u_\alpha^0 + \varepsilon u_\alpha^1; \quad (13)$$

$$e_{\alpha\gamma} = e_{\alpha\gamma}^0 + \varepsilon e_{\alpha\gamma}^1; \quad (14)$$

$$\sigma_{\alpha\gamma} = \sigma_{\alpha\gamma}^0 + \varepsilon \sigma_{\alpha\gamma}^1. \quad (15)$$

Здесь $\alpha, \gamma = r, \varphi, z$; верхние индексы 0 и 1 у переменных соответствуют нулевому (изотропному) и первому приближениям по малому параметру ε .

Из решения граничных задач нулевого (изотропного) и первого приближений по малому параметру анизотропии ε определяются напряжения $\sigma_{\alpha\gamma}^0$ и $\sigma_{\alpha\gamma}^1$ соответственно.

Граничная задача в изотропном приближении по малому параметру анизотропии. С учетом (13)–(15) в изотропном приближении уравнения равновесия и геометрические соотношения имеют вид (9), (10). С учетом (14), (15) уравнения состояния (11) в изотропном приближении записываются в виде

$$\sigma_{rr}^0 = (\lambda + 2\mu)e_{rr}^0 + \lambda e_{\varphi\varphi}^0, \quad \sigma_{\varphi\varphi}^0 = \lambda e_{rr}^0 + (\lambda + 2\mu)e_{\varphi\varphi}^0, \quad \sigma_{r\varphi}^0 = 2\mu e_{r\varphi}^0. \quad (16)$$

При этом

$$\sigma_{zz}^0 = \lambda(\sigma_{rr}^0 + \sigma_{\varphi\varphi}^0)/[2(\lambda + \mu)].$$

Граничные условия задачи в изотропном приближении принимаем в виде

$$\sigma_{rr}^0|_{r=a} = -p_a, \quad \sigma_{rr}^0|_{r=b} = -p_b, \quad \sigma_{r\varphi}^0|_{r=a} = \sigma_{r\varphi}^0|_{r=b} = 0. \quad (17)$$

В силу симметрии граничной задачи в изотропном приближении имеют место соотношения

$$u_\varphi^0 = 0, \quad u_{\alpha,\varphi}^0 = 0, \quad e_{\alpha\gamma,\varphi}^0 = 0, \quad \sigma_{\alpha\gamma,\varphi}^0 = 0. \quad (18)$$

С использованием (16), геометрических соотношений (10) в изотропном приближении и с учетом соотношений (18) уравнения равновесия в изотропном приближении запишем в перемещениях u_α^0 . В результате получаем уравнение для u_r^0

$$u_{r,rr}^0 + u_{r,r}^0/r - u_r^0/r^2 = 0,$$

общее решение которого имеет вид

$$u_r^0 = a_1/r + a_2r. \quad (19)$$

Константы интегрирования a_1, a_2 находим из граничных условий (17), используя (19), (10) для случая изотропного приближения и (16). В результате получаем

$$u_r^0 = \frac{p_1}{2\mu} \frac{1}{r} + \frac{p_2}{2(\lambda + \mu)} r, \quad (20)$$

где $p_1 = a^2b^2(p_a - p_b)/(b^2 - a^2)$; $p_2 = (a^2p_a - b^2p_b)/(b^2 - a^2)$.

Из (20), (10) для случая изотропного приближения и (16) находим напряжения в изотропном приближении:

$$\sigma_{rr}^0 = -p_1/r^2 + p_2, \quad \sigma_{\varphi\varphi}^0 = p_1/r^2 + p_2, \quad \sigma_{r\varphi}^0 = 0, \quad \sigma_{zz}^0 = \lambda p_2/(\lambda + \mu). \quad (21)$$

Граничная задача в первом приближении по малому параметру анизотропии. Уравнения равновесия и геометрические соотношения в первом приближении по малому параметру анизотропии ε имеют тот же вид, что и уравнения (9) и (10) соответственно. С учетом (14), (15) и (20), (10), (21) в первом приближении по малому параметру ε уравнения состояния (11) записываются в виде

$$\begin{aligned} \sigma_{rr}^1 &= (\lambda + 2\mu)e_{rr}^1 + \lambda e_{\varphi\varphi}^1 + \omega_1 - \omega_2(1 + 5 \cos 4\varphi)/r^2, \\ \sigma_{\varphi\varphi}^1 &= \lambda e_{rr}^1 + (\lambda + 2\mu)e_{\varphi\varphi}^1 + \omega_1 + \omega_2(1 + 5 \cos 4\varphi)/r^2, \\ \sigma_{r\varphi}^1 &= 2\mu e_{r\varphi}^1 + 5\omega_2 \sin 4\varphi/r^2, \end{aligned} \quad (22)$$

а выражение (12) с учетом (15), (21) преобразуется к виду

$$\sigma_{zz}^1 = \lambda(\sigma_{rr}^1 + \sigma_{\varphi\varphi}^1)/[2(\lambda + \mu)] - \omega_3. \quad (23)$$

Здесь $\omega_1 = \beta p_2/[2(\lambda + \mu)]$; $\omega_2 = \beta p_1/(4\mu)$; $\omega_3 = \beta(3\lambda + 2\mu)p_2/[2(\lambda + \mu)^2]$.

Для задачи в первом по ε приближении граничные условия являются однородными:

$$\sigma_{rr}^1|_{r=a} = \sigma_{rr}^1|_{r=b} = 0, \quad \sigma_{r\varphi}^1|_{r=a} = \sigma_{r\varphi}^1|_{r=b} = 0. \quad (24)$$

С использованием соотношений (22) и геометрических соотношений в первом по ε приближении уравнения равновесия в первом по малому параметру анизотропии ε приближении запишем в перемещениях u_α^1 . В результате получаем

$$\begin{aligned} (\lambda + 2\mu)r^3 u_{r,rr}^1 + \mu r u_{r,\varphi\varphi}^1 + (\lambda + \mu)r^2 u_{\varphi,r\varphi}^1 + (\lambda + 2\mu)r^2 u_{r,r}^1 - \\ - (\lambda + 3\mu)r u_{\varphi,\varphi}^1 - (\lambda + 2\mu)r u_r^1 = -5\beta p_1 \cos 4\varphi/\mu, \end{aligned} \quad (25)$$

$$(\lambda + \mu)r^2 u_{r,r\varphi}^1 + \mu r^3 u_{\varphi,rr}^1 + (\lambda + 2\mu)r u_{\varphi,\varphi\varphi}^1 + (\lambda + 3\mu)r u_{r,\varphi}^1 + \mu r^2 u_{\varphi,r}^1 - \mu r u_{\varphi}^1 = 5\beta p_1 \sin 4\varphi/\mu.$$

Напряжения $\sigma_{\alpha\gamma}^1$, определенные по решению системы неоднородных уравнений (25) с помощью геометрических соотношений (10) и уравнений состояния (22) для случая первого приближения по малому параметру ε , должны удовлетворять однородным граничным условиям (24). Эти напряжения удобно искать в следующем виде:

$$\sigma_{\alpha\gamma}^1 = \sigma_{\alpha\gamma}^{(1)} + \sigma_{\alpha\gamma}^{[1]}. \quad (26)$$

Здесь напряжения $\sigma_{\alpha\gamma}^{(1)}$ создаются каким-либо частным решением системы неоднородных уравнений (25); напряжения $\sigma_{\alpha\gamma}^{[1]}$ создаются решением системы однородных уравнений, соответствующей системе неоднородных уравнений (25), и удовлетворяют граничным условиям, отличающимся от граничных условий для напряжений $\sigma_{\alpha\beta}^{(1)}$ только знаком:

$$\begin{aligned}\sigma_{rr}^{[1]}|_{r=a} &= -\sigma_{rr}^{(1)}|_{r=a}, & \sigma_{rr}^{[1]}|_{r=b} &= -\sigma_{rr}^{(1)}|_{r=b}, \\ \sigma_{r\varphi}^{[1]}|_{r=a} &= -\sigma_{r\varphi}^{(1)}|_{r=a}, & \sigma_{r\varphi}^{[1]}|_{r=b} &= -\sigma_{r\varphi}^{(1)}|_{r=b}.\end{aligned}\quad (27)$$

Частное решение системы неоднородных уравнений (25) имеет вид

$$u_r^{(1)} = \frac{5\beta p_1}{8\mu^2} \frac{\cos 4\varphi}{r}, \quad u_\varphi^{(1)} = -\frac{5\beta p_1}{8\mu(\lambda + 2\mu)} \frac{\sin 4\varphi}{r}.\quad (28)$$

Напряжения $\sigma_{\alpha\beta}^{(1)}$ определяются по перемещениям $u_r^{(1)}$, $u_\varphi^{(1)}$.

Используя (28) и геометрические соотношения для случая первого по ε приближения, из (22) получаем

$$\begin{aligned}\sigma_{rr}^{(1)} &= -c_1 \cos 4\varphi/r^2 - c_2/r^2 + c_3, & \sigma_{\varphi\varphi}^{(1)} &= c_2/r^2 + c_3, \\ \sigma_{r\varphi}^{(1)} &= -c_1 \sin 4\varphi/(4r^2),\end{aligned}\quad (29)$$

где $c_1 = 5\beta(\lambda + \mu)p_1/[\mu(\lambda + 2\mu)]$; $c_2 = \beta p_1/(4\mu)$; $c_3 = \beta p_2/[2(\lambda + \mu)]$.

Согласно сказанному выше напряжения $\sigma_{\alpha\gamma}^{[1]}$ должны удовлетворять уравнениям равновесия (9), поэтому их можно выразить через функцию напряжений Эри

$$\Psi = \gamma_1 \ln r + \gamma_2 r^2 + (\delta_1 r^{-4} + \delta_2 r^{-2} + \delta_3 r^4 + \delta_4 r^6) \cos 4\varphi,\quad (30)$$

которая является решением бигармонического уравнения [2].

Компоненты тензора напряжений $\sigma_{\alpha\gamma}^{[1]}$ определяются по формулам

$$\sigma_{rr}^{[1]} = \Psi_{,\varphi\varphi}/r^2 + \Psi_{,r}/r, \quad \sigma_{\varphi\varphi}^{[1]} = \Psi_{,rr}, \quad \sigma_{r\varphi}^{[1]} = -\Psi_{,r\varphi}/r + \Psi_{,\varphi}/r^2.\quad (31)$$

Используя (29)–(31), из граничных условий (27) находим значения констант γ_1 , γ_2 , δ_1 , δ_2 , δ_3 , δ_4 . Подставляя найденные константы в (30), с помощью (31) после ряда преобразований получаем

$$\begin{aligned}\sigma_{rr}^{[1]} &= -c_1(20k_1 r^{-6} + 18k_2 r^{-4} + 12k_3 r^2 + 10k_4 r^4) \cos 4\varphi + c_2/r^2 - c_3, \\ \sigma_{\varphi\varphi}^{[1]} &= c_1(20k_1 r^{-6} + 6k_2 r^{-4} + 12k_3 r^2 + 30k_4 r^4) \cos 4\varphi - c_2/r^2 - c_3, \\ \sigma_{r\varphi}^{[1]} &= c_1(-20k_1 r^{-6} - 12k_2 r^{-4} + 12k_3 r^2 + 20k_4 r^4) \sin 4\varphi,\end{aligned}\quad (32)$$

где

$$\begin{aligned}k_1 &= a^4 b^4 (a^4 + 4a^2 b^2 + b^4)/(2k), & k_2 &= -a^2 b^2 (a^6 + 4a^4 b^2 + 4a^2 b^4 + b^6)/k, \\ k_3 &= -(3a^4 + 4a^2 b^2 + 3b^4)/(2k), & k_4 &= (a^2 + b^2)/k, & k &= 8(a^8 + 4a^6 b^2 + 10a^4 b^4 + 4a^2 b^6 + b^8).\end{aligned}$$

Окончательно из (26), (29), (32) находим напряжения в первом приближении по малому параметру анизотропии ε :

$$\begin{aligned}\sigma_{rr}^1 &= -c_1(20k_1 r^{-6} + 18k_2 r^{-4} + r^{-2} + 12k_3 r^2 + 10k_4 r^4) \cos 4\varphi, \\ \sigma_{\varphi\varphi}^1 &= c_1(20k_1 r^{-6} + 6k_2 r^{-4} + 12k_3 r^2 + 30k_4 r^4) \cos 4\varphi, \\ \sigma_{r\varphi}^1 &= c_1(-80k_1 r^{-6} - 48k_2 r^{-4} - r^{-2} + 48k_3 r^2 + 80k_4 r^4) \sin 4\varphi.\end{aligned}\quad (33)$$

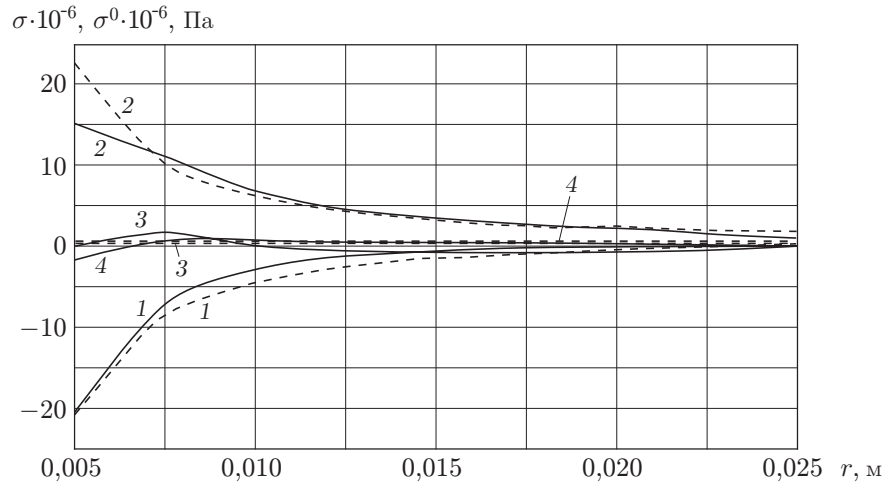


Рис. 2. Зависимости компонент тензора напряжений от радиуса в кольце из КС1, находящемся под действием внутреннего давления ($\varphi = 30^\circ$):
 1 — $\sigma_{rr}, \sigma_{rr}^0$; 2 — $\sigma_{\varphi\varphi}, \sigma_{\varphi\varphi}^0$; 3 — $\sigma_{r\varphi}, \sigma_{r\varphi}^0$; 4 — $\sigma_{zz}, \sigma_{zz}^0$; сплошные линии — компоненты тензора напряжений, рассчитанные с точностью до членов первого порядка по малому параметру упругой анизотропии; штриховые — компоненты тензора напряжений, рассчитанные в изотропном приближении

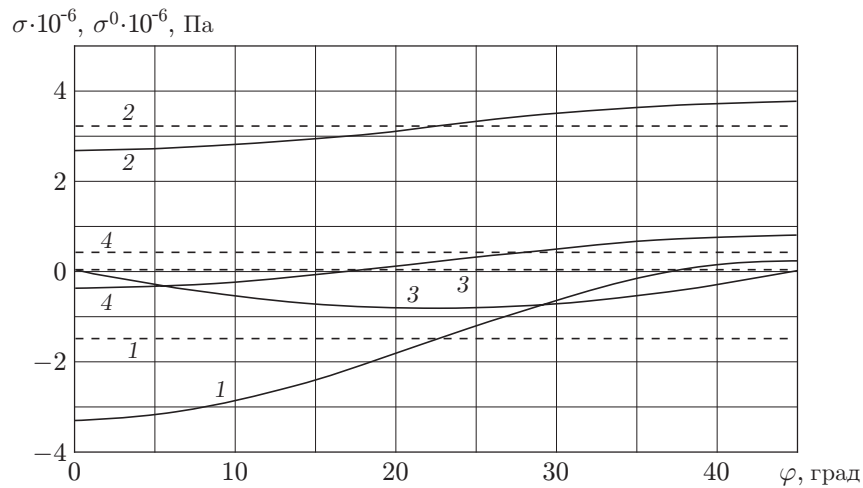


Рис. 3. Зависимости компонент тензора напряжений от угловой координаты в кольце из КС1, находящемся под действием внутреннего давления ($r = 0,015$ м) (обозначения те же, что на рис. 2)

Из (23) и (33) также следует

$$\sigma_{zz}^1 = \frac{c_1 \lambda}{2(\lambda + \mu)} (-12k_2 r^{-4} - r^{-2} + 20k_4 r^4) \cos 4\varphi - \omega_3. \quad (34)$$

Выражения (15), (7), (21), (33), (34) определяют напряжения в анизотропном кольце с точностью до членов первого порядка по малому параметру анизотропии ε . Коэффициенты Ламе в этих выражениях определяются соотношениями (5).

Напряженное состояние в кольце из КС1, находящемся под действием внутреннего давления. С помощью полученного решения найдены напряжения в кольце из КС1, находящемся под действием внутреннего давления. Внутренний и внешний радиусы кольца принимались равными $a = 0,005$ м, $b = 0,025$ м. Для КС1 значения анизотропных модулей упругости взяты из работы [3]: $c_{11} = 3,980 \cdot 10^{10}$ Па, $c_{12} = 0,620 \cdot 10^{10}$ Па, $c_{44} = 0,625 \cdot 10^{10}$ Па. Согласно (5) коэффициенты Ламе для фиктивного изотропного тела равны $\lambda = 1,042 \cdot 10^{10}$ Па, $\mu = 1,047 \cdot 10^{10}$ Па. Параметр упругой анизотропии имеет значение $\varepsilon = 0,313$. Внутреннее давление принято равным $p_a = 2,051 \cdot 10^7$ Па исходя из условия $e_{rr}^0|_{r=a} = -0,001$.

На рис. 2, 3 приведены зависимости компонент тензора напряжений в кольце от радиуса (при $\varphi = 30^\circ$) и угловой координаты (при $r = 0,015$ м) соответственно. Видно, что напряжения, рассчитанные с точностью до членов первого порядка по малому параметру упругой анизотропии, значительно отличаются от напряжений, рассчитанных в изотропном приближении. Наиболее существенные различия имеют место при малых значениях r . Для анизотропных материалов с параметром анизотропии $\varepsilon > 0,313$ рассматриваемые различия еще более значительны.

ЛИТЕРАТУРА

1. Федоров Ф. И. Теория упругих волн в кристаллах. М.: Наука, 1965.
2. Новацкий В. Теория упругости. М.: Мир, 1975.
3. Хантингтон Г. Упругие постоянные кристаллов // Успехи физ. наук. 1961. Т. 74, вып. 3. С. 461–514.

*Поступила в редакцию 11/VI 2008 г.,
в окончательном варианте — 5/X 2009 г.*